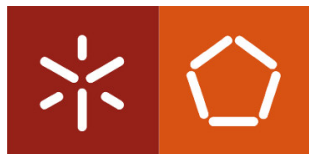


UNIVERSIDADE DO MINHO

ESCOLA DE ENGENHARIA



# Computação Gráfica

Licenciatura em Engenharia Informática

## Fase 3 - Curves, Cubic Surfaces and VBO's

Grupo 12

Ana Pires - [A96060]  
Mariana Marques - [A93198]

Maio, 2023

# Conteúdo

<b>1</b>	<b>Introdução</b>	<b>2</b>
1.1	Contextualização . . . . .	2
1.2	Objetivos 3. <sup>a</sup> Fase . . . . .	2
<b>2</b>	<b>Generator</b>	<b>3</b>
2.1	Primitivas Gráficas . . . . .	3
2.1.1	<i>Bezier</i> . . . . .	3
<b>3</b>	<b>Engine</b>	<b>6</b>
3.1	VBOs . . . . .	6
3.1.1	Estruturas de Dados . . . . .	7
3.2	Translação . . . . .	7
3.2.1	Curvas de <i>Catmull-Rom</i> . . . . .	8
3.3	Rotação . . . . .	9
<b>4</b>	<b>Sistema Solar</b>	<b>10</b>
<b>5</b>	<b>Testes</b>	<b>12</b>
5.1	Teste 1 - Curvas de <i>Catmull-Rom</i> . . . . .	12
5.2	Teste 2 - Superfícies de <i>Bezier</i> . . . . .	12
<b>6</b>	<b>Conclusão</b>	<b>13</b>

# 1. Introdução

## 1.1 Contextualização

O presente relatório tem como objetivo documentar e formalizar o procedimento efetuado para a implementação da terceira fase do Trabalho Prático de Computação Gráfica, constituinte do 2º semestre do 3º ano de Engenharia Informática.

## 1.2 Objetivos 3.ª Fase

Como está explícito no enunciado do presente trabalho prático, esta fase exige um conjunto de objetivos, tais como:

1. Atualizar o *generator* de forma a ser possível criar modelos baseados em *patches* de *Bezier* - Superfícies de *Bezier*;
2. Atualizar o *engine* para gerar os modelos através do uso de *VBOs*;
3. Extender as operações de rotação e translação através da *tag point* e os atributos *time* e *align*, assim, com o auxílio do *engine* e com o algoritmo das **Curvas de Catmull-Rom** é possível obter animações relativas aos modelos.

## 2. Generator

Como já foi referido anteriormente, foi necessário atualizar o *generator* de forma a ser possível criar superfícies de *Bezier* baseados em *patches*.

### 2.1 Primitivas Gráficas

Para ser possível completar o objetivo referente às superfícies de *Bezier*, foi necessário acrescentar a primitiva ***Bezier*** às restantes existentes.

Assim, é possível listar as primitivas criadas até ao momento:

- Plano
- Caixa
- Esfera
- Cone
- Torus
- Bazier

#### 2.1.1 *Bezier*

Como o próprio nome indica, esta primitiva permite a implementação de **Superfícies de *Bezier*** com recurso a *patches* e requer novos parâmetros, tais como:

- ***string file***: Nome do ficheiro *.patch*;
- ***int tessellation***: Representa a precisão do modelo a ser gerado, através dos incrementos bidirecionais de valor  $\frac{1}{tessellation}$ ;
- ***map<int, vector<Point>> patches***: Mapa responsável por guardar as *patches* definidas no ficheiro, onde cada uma contém a sua identificação e o vetor de pontos de controlo respetivo.

De forma a ser possível a correta implementação desta primitiva, foram desenvolvidas as respectivas funções:

**void parsePatch();**

Responsável pelo *parsing* do ficheiro .patch correspondente e povoamento dos atributos da primitiva.

**Point getBezierPoint(int p, float u, float v);**

Responsável por calcular o ponto relativo aos parâmetros **u** e **v** na superfície cúbica de *Bezier* dada por **p(u,v)**.

$$p(u, v) = \begin{bmatrix} u^3 & u^2 & u & 1 \end{bmatrix} \begin{bmatrix} -1 & 3 & -3 & 1 \\ 3 & -6 & 3 & 0 \\ -3 & 3 & 0 & 0 \\ 1 & 0 & 0 & 0 \end{bmatrix} \begin{bmatrix} P_{00} & P_{10} & P_{20} & P_{30} \\ P_{01} & P_{11} & P_{21} & P_{31} \\ P_{02} & P_{12} & P_{22} & P_{32} \\ P_{03} & P_{13} & P_{23} & P_{33} \end{bmatrix} \begin{bmatrix} -1 & 3 & -3 & 1 \\ 3 & -6 & 3 & 0 \\ -3 & 3 & 0 & 0 \\ 1 & 0 & 0 & 0 \end{bmatrix} \begin{bmatrix} v^3 \\ v^2 \\ v \\ 1 \end{bmatrix}$$

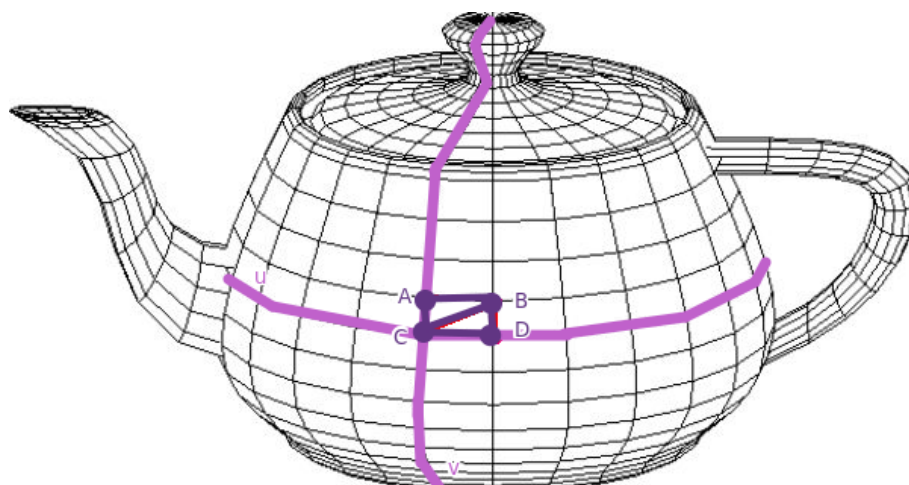
Figura 2.1: **Forma Matricial** da Superfície Cúbica de Bezier

Tendo por base a seguinte fórmula, define-se então a matriz de coeficientes referentes à superfície cúbica de **Bezier**, sendo posteriormente multiplicada pelos parâmetros  $u$ ,  $v$  e, por fim, pela matriz referente aos pontos de controle, caracterizada pela multiplicidade  $4 \times 4$ , uma vez que cada *patch* é formado por 16 pontos de controle.

Esse processo é realizado para cada uma das coordenadas dos pontos de controle (**x**, **y** e **z**).

**vector<Point>point\_generator()**

Responsável por gerar os vértices da primitiva, através da iteração pelo número de *patches* e pela *tessellation* bidirecional, **u** e **v** - horizontal e vertical, respetivamente.



Tendo em conta a imagem, determina-se que o triângulo superior é formado pelos pontos ABC e o triângulo inferior é formado pelos pontos BCD.

- **Ponto A:** `getBezierPoint(patch, u +  $\frac{1}{tessellation}$ , v);`
- **Ponto B:** `getBezierPoint(patch, u +  $\frac{1}{tessellation}$ , v +  $\frac{1}{tessellation}$ );`
- **Ponto C:** `getBezierPoint(patch, u, v);`
- **Ponto D:** `getBezierPoint(patch, u, v +  $\frac{1}{tessellation}$ );`

## 3. Engine

Como já foi referido anteriormente, foi necessário atualizar o *engine* para gerar os modelos através do uso de *VBOs* e extender as operações de rotação e translação através da *tag point* e os atributos *time* e *align*, de forma a ser possível implementar as *Curvas de Catmull-Rom*.

### 3.1 VBOs

De modo a melhorar a eficiência da renderização, realizou-se a implementação de **VBO's** (*Vertex Buffer Object*) ao gerar os modelos.

*map<string, pair<unsigned int, unsigned int>> modelsVBOs*

Para catalogar as *VBO's*, é criado um mapa, dado por *modelsVBOs*, onde o elemento chave é o nome do ficheiro relativo ao modelo a ser gerado, e o elemento valor é um par que referencia, como primeiro elemento, o identificador do *VBO* e, como segundo elemento, o número de pontos do modelo.

No que toca à criação da *VBO*, foram utilizadas funções do *OpenGL*, tais como:

- **glGenBuffer**: Responsável por gerar o identificador do *buffer*;
- **glBindBuffer**: Responsável por vincular o *buffer* ao modelo a ser gerado;
- **glBufferData**: Responsável por copiar os dados para o *buffer*.

É de salientar que uma *VBO* só é criada caso o modelo em questão ainda não tenha sido lido, o que confere eficiência ao programa.

No que toca à renderização do modelo, foram utilizadas funções do *Glew* e *OpenGL*, tais como:

- **\_glewBindBuffer**: Responsável por vincular o *buffer* ao alvo;
- **glVertexPointer**: Responsável por interpretar os dados dos vértices;
- **glDrawArrays**: Responsável por renderizar os modelos.

### 3.1.1 Estruturas de Dados

De forma a ser possível implementar esta funcionalidade, foram feitas alterações em relação às estruturas de dados, tais como:

#### 1. Model

Em relação à classe *Model*, foi adicionado o atributo *pairVBOs*, que se trata do elemento valor do mapa.

Listing 3.1: Class Model

```
class Model {
    private:
        string file;
        vector<Point>* points;
        pair<unsigned int, unsigned int> pairVBOs; <<<<<
}
```

#### 2. Tree

Em relação à classe *Tree*, foi adiciona o atributo *modelsVBOs*, que se trata do mapa que guarda todas as *VBOs*.

Listing 3.2: Class Tree

```
class Tree {
    private:
        Window window;
        Camera camera;
        Group groups;
        map<string, pair<unsigned int,unsigned int>> modelsVBOs;
}
```

## 3.2 Translação

No que toca à translação, foi necessário criar novos atributos para ser possível implementar o algoritmo correspondente às curvas de *Catmull-Rom*, tais como:

- **float time**: Segundos que o modelo demora a percorrer a curva;
- **bool align**: Informa se o modelo tem de estar alinhado com a direção da curva;
- **vector <Point >points**: Responsável por guardar os pontos da curva;



### 3.2.1 Curvas de *Catmull-Rom*

Considerando um conjunto de 4 pontos, através das curvas de *Catmull-Rom*, obtém-se uma curva que expressa o segmento intermédio:

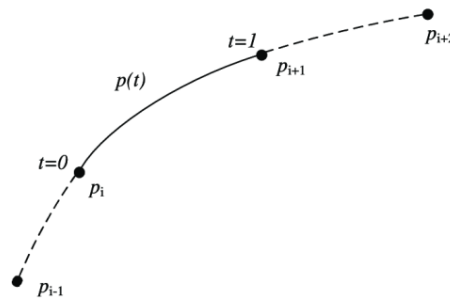


Figura 3.1: Segmento Intermédio

Desta forma, sabendo que  $p(t) = at^3 + bt^2 + ct + d$ , representa a expressão relativa às curvas de *Catmull-Rom*, é possível concluir:

$$P(t) = \begin{bmatrix} t^3 \\ t^2 \\ t \\ 1 \end{bmatrix} \begin{bmatrix} -0.5 & 1.5 & -1.5 & 0.5 \\ 1 & -2.5 & 2 & -0.5 \\ -0.5 & 0 & 0.5 & 0 \\ 0 & 1 & 0 & 0 \end{bmatrix} \begin{bmatrix} P_0 \\ P_1 \\ P_2 \\ P_3 \end{bmatrix}$$

Figura 3.2:  $p(t)$  em forma matricial

E, por fim, obtém-se as seguintes equações que permitem calcular as curvas:

$$C_0(t) = -0.5t^3 + t^2 - 0.5t$$

$$C_1(t) = 1.5t^3 - 2.5t^2 + t$$

$$C_2(t) = -1.5t^3 + 2t^2 + 0.5t$$

$$C_3(t) = 0.5t^3 - 0.5t^2$$

Considerando os conceitos teóricos acabados de definir, foram desenvolvidas as respectivas funções:

```
void getCatmullRomPoint(float t, Point p1..p4, Point *pos, Point *deriv);
```

Considerando que as curvas de *Catmull-Rom* são dadas por  $\mathbf{p}$  e as respectivas derivadas por  $\mathbf{p}'$ , tem-se:

1.  $p(t) = at^3 + bt^2 + ct + d$ ;
2.  $p'(t) = 3at^2 + 2bt + c$ .

Tendo por base a forma matricial da curva, é feita a multiplicação das coordenadas de cada ponto (p1..p4) pela matriz de coeficientes, e, por fim, é feita a substituição da matriz resultante em  $p(t)$  e  $p'(t)$ . Assim, é atingido o objetivo de calcular as coordenadas do ponto posição e derivada.

**void getGlobalCatmullRomPoint(float gt, Point \*pos, Point \*deriv);**

Permite um conjunto grande de pontos que, posteriormente, é dividido em 4 sub-conjuntos de forma a respeitar as expressões definidas anteriormente.

**void renderCatmullRoomCurve();**

Responsável pela renderização da curva com auxílio da função *glBegin(GL\_LINE\_LOOP)* e *glEnd()*, onde, a cada iteração, é calculado o ponto global da curva.

**void alignModel(Point \*deriv);**

Responsável pelo cálculo da direção do modelo, de forma, a igualar à direção da curva.

### 3.3 Rotação

No que toca à rotação, foi necessário criar novos atributos, tais como:

- **float angle:** Ângulo pelo qual a rotação irá ocorrer;
- **float time:** Segundos que o modelo demora a fazer uma volta de 360 graus;

Assim, antes de efetuar a ação, verificamos se o valor do atributo *time* é diferente de -1 (valor default, significa sem rotação periódica) e iremos obter o ângulo, multiplicando o valor do atributo *time* por 360, e após isto, aplicar a rotação.

## 4. Sistema Solar

Para assemelhar o Sistema Solar criado ao real, recorreu-se a todas as novas funcionalidades implementadas até ao momento, tornando tudo mais dinâmica e aprazível, uma vez que é possível observar cada planeta a girar sob as suas órbitas.

Para além de todos os corpos celestes anteriormente implementados, acrescentou-se ainda o cometa adicional, que era requisitado: cometa na forma de *teapot*. Neste também é possível observar a sua órbita e o seu movimento perante a mesma.

Uma vez que não é possível demonstrar a representação das órbitas e rotações dos corpos, apresenta-se apenas a representação estática do cenário:

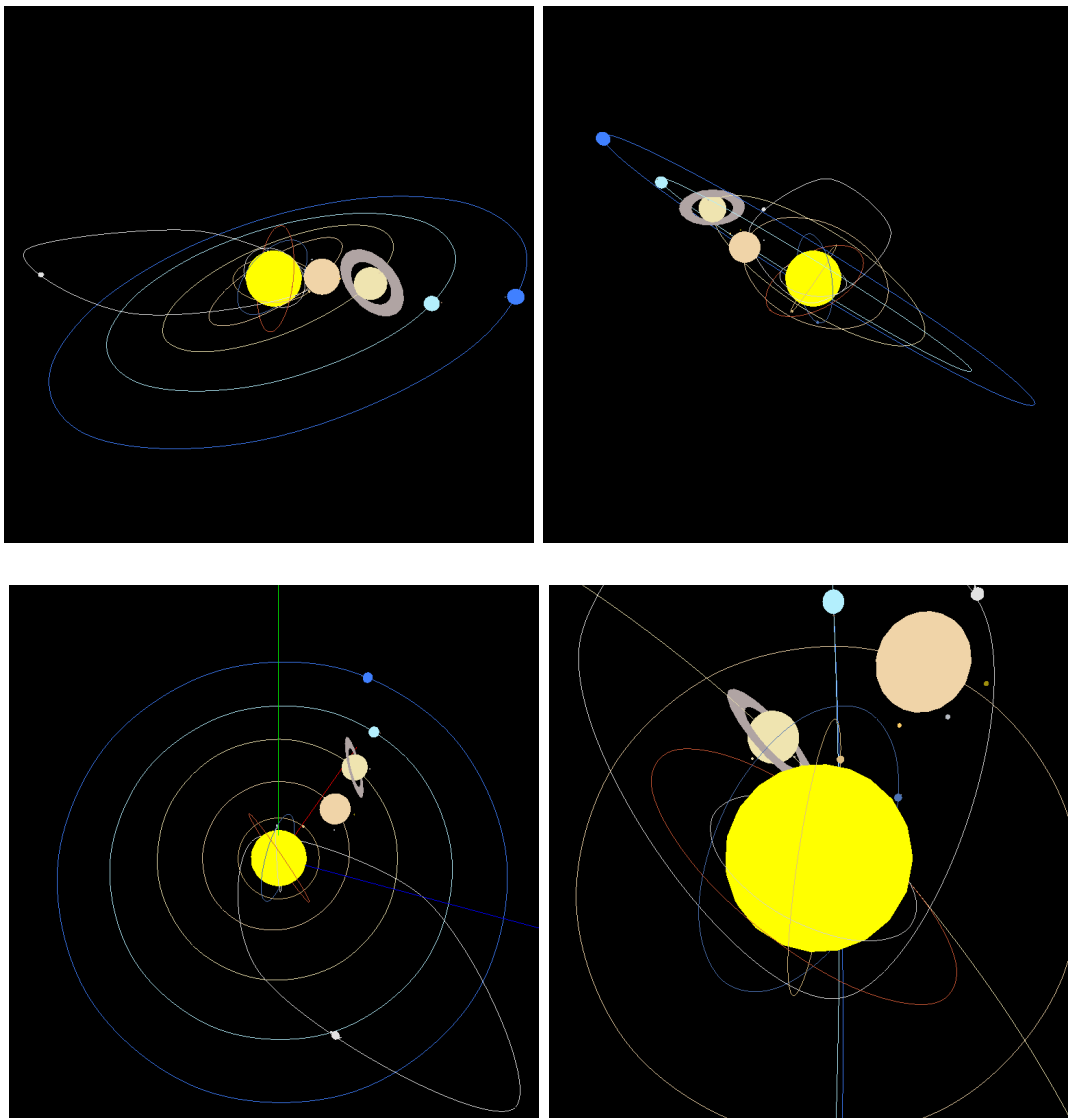


Figura 4.1: Sistema Solar visto de diferentes perspectivas

---

É de salientar que foi utilizado um programa em python de forma a obter as coordenadas dos pontos que pertencem às órbitas dos planetas.

## 5. Testes

Ao executar os testes fornecidos no enunciado do trabalho prático, verificou-se que se realizaram todos com sucesso, como se confirma pela apresentação dos resultados obtidos.

### 5.1 Teste 1 - Curvas de *Catmull-Rom*

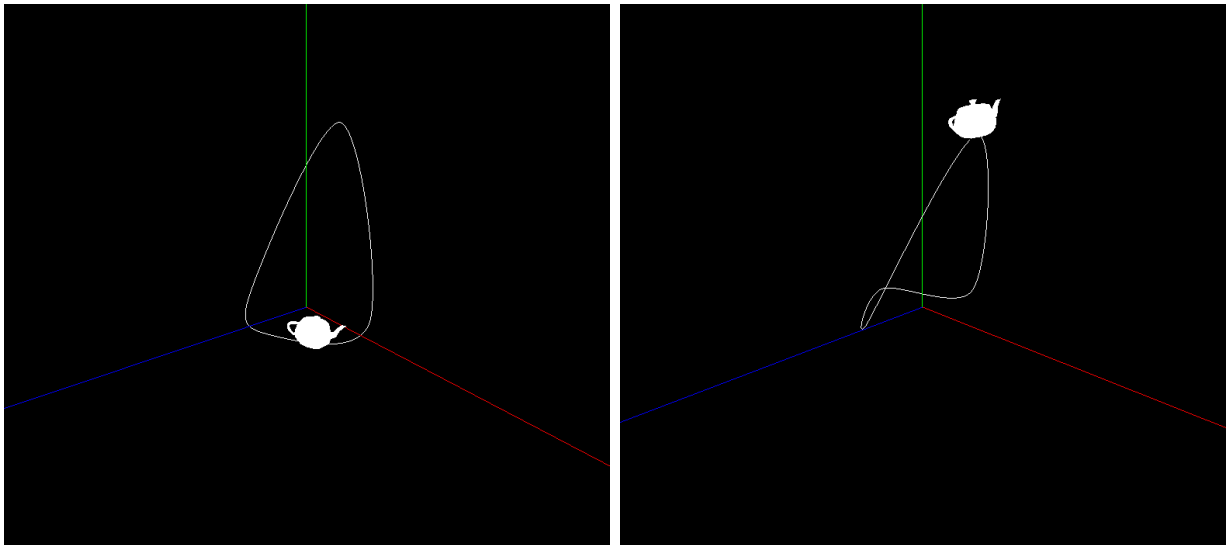


Figura 5.1: Teapot com rotação sob a curva de Catmull-Rom

### 5.2 Teste 2 - Superfícies de *Bezier*

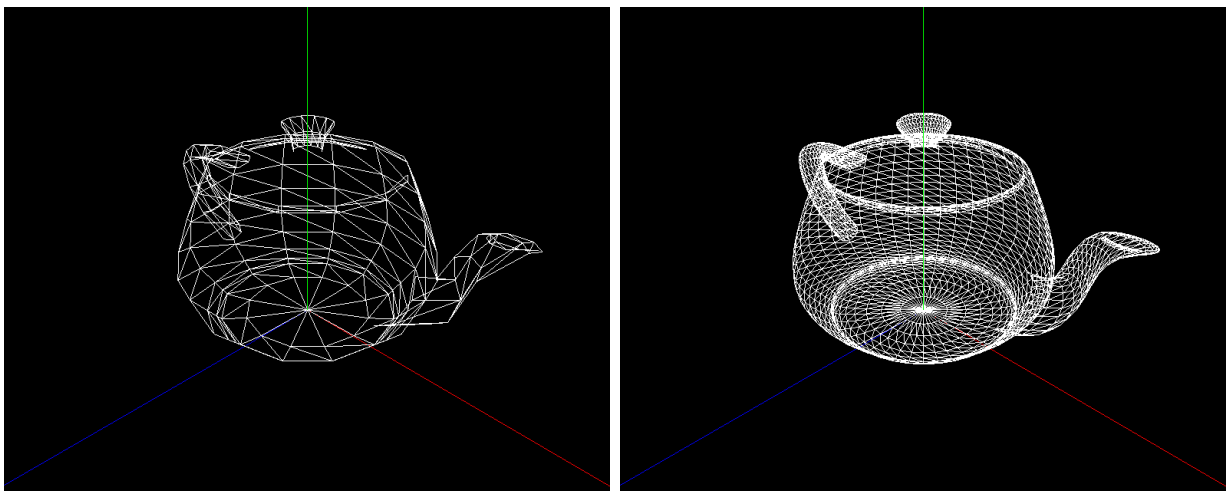


Figura 5.2: Teapot com níveis de tesselação de valor 3 e 10, respetivamente

## 6. Conclusão

Com esta fase do projeto realizada, verifica-se uma notória melhora na *performance* dos modelos, devida à implementação de *VBO's*. Para além disto, a extensão das operações de rotação e translação, também coloca a cena mais agradável visivelmente. Algo também bastante aprazível, é com certeza, notar na maior aproximação ao real do Sistema Solar criado, sendo isto apenas possível recorrendo ao auxílio das curvas de *Bezier* e *Catmull-Rom*.

Esta etapa apresentou-se, então, bastante satisfatória uma vez que foi possível colocar em prática os novos conhecimentos adquiridos em aula, e também, visto que foi possível cumprir todos os requisitos propostos.